

ВЛИЯНИЕ СПИРАЛЬНЫХ ЗАЖИМОВ НА ТЕПЛОВОЕ СОСТОЯНИЕ ПРОВОДА

АВТОРЫ:

Е.Д. КИМ,
Д.Т.Н.,
УКРАИНСКАЯ
ИНЖЕНЕРНО-
ПЕДАГОГИЧЕСКАЯ
АКАДЕМИЯ

Б.М. ЖУКОВ,
К.Т.Н.,
ООО «ФОРЭНЕРГО-
ИНЖИНИРИНГ»

Надежность воздушной линии электропередачи определяется качеством всех ее структурных элементов. Спиральная арматура является новой и весьма перспективной разновидностью арматуры традиционных видов, предназначеннной для проводов высоковольтных воздушных

линий электропередачи, молниезащитных тросов, оптических кабелей. Обладая достаточно высокой гибкостью, такие спиральные элементы хорошо сочетаются с проводом и после монтажа фактически образуют с ним единое целое, что дополнительно формирует своеобразный защитный слой.

Ключевые слова: воздушные линии электропередачи; спиральная арматура; ферромагнитные материалы; потери на перемагничивание; нагрев провода.



Металлические зажимы являются необходимым элементом линейной арматуры воздушных линий электропередачи

ВВЕДЕНИЕ

Основной тенденцией при разработке новых воздушных высоковольтных линий (ВЛ) в течение многих лет являлось стремление разработчиков к уменьшению количества деталей арматуры, выполненных из ферромагнитных материалов, что связано с существенными потерями, возникающими при перемагничивании таких материалов. Последние возникают в случае, когда элементы ферромагнитной арматуры охватывают снаружи токопроводящие повивы провода. К таким элементам (в составе конструкций линейной арматуры, применяемой в настоящее время) относятся:

- корпуса поддерживающих зажимов (лодочки) ПГН-3-5, выполненные из листовой стали;
- чугунные корпуса натяжных зажимов НБ-2-6 и НБ-3-6;
- спиральные натяжные зажимы;
- протекторы-фиксаторы из стальных проволок соединительных и ремонтных спиральных зажимов;
- защитные спиральные протекторы из стальных проволок;
- спирали из стальных проволок, предназначенные для крепления различных устройств к проводам (зажимы гасителей вибрации, пляски, распорок и т.д.).

Тем самым возникает проблема определения допустимой длительности токовых нагрузок. Такой выбор обусловлен допустимой температурой нагрева провода, которая установлена в Правилах устройства электроустановок [1]. Заметим, что рекомендации по выбору данных нагрузок приведены в различной технической литературе [2]. Длительно допустимые токовые нагрузки приняты из расчета допустимой температуры их нагрева +70 °C при температуре воздуха +25 °C. ГОСТ 839-80 устанавливает длительно допустимую температуру, равную 90 °C.

ИССЛЕДОВАНИЯ ВЛИЯНИЯ СПИРАЛЬНЫХ ЗАЖИМОВ НА ПОТЕРИ МОЩНОСТИ И НАГРЕВ ПРОВОДА

Задача исследований заключалась в оценке влияния спиральных зажимов на потери мощности и температуру нагрева провода. Экспериментальные исследования проводились на стенде, предназначенном для испытания линейной арматуры с проводами на магнитные потери по МЭК 61284:1997 [3].

Исследования проводились со спиральными соединительными и натяжными зажимами, содержащими наружные повивы из стальных алюминированных и оцинкованных проволок, которые получили в России широкое распространение при строительстве и ремонте ВЛ 35–750 кВ.

Наиболее распространенная в России конструкция соединительного зажима приведена на рис. 1 [4].

Для определения температуры нагрева провода был проведен ряд экспериментов на проводах АС 120/19, АС 240/32, АААС-З455-22. Эксперименты проводились с зажимами, конструкция которых приведена на рис. 1.

Для оценки влияния спиральных зажимов на процесс нагрева проводов в результате перемагничивания для всей номенклатуры неизолированных проводов необходима разработка расчетной методики.

ОПРЕДЕЛЕНИЕ ПОТЕРЬ МОЩНОСТИ И ТЕМПЕРАТУРЫ НАГРЕВА

Как известно [5], нагрев любого провода, помещенного в некоторую

СОЕДИНИТЕЛЬНЫЙ ЗАЖИМ ДЛЯ ПОЛНОГО ВОССТАНОВЛЕНИЯ МЕХАНИЧЕСКИХ И ЭЛЕКТРИЧЕСКИХ ХАРАКТЕРИСТИК ПРОВОДА МАРКИ АС, СОДЕРЖАЩИЙ ПРОТЕКТОР-ФИКСАТОР ИЗ СТАЛЬНЫХ ПРОВОЛОК

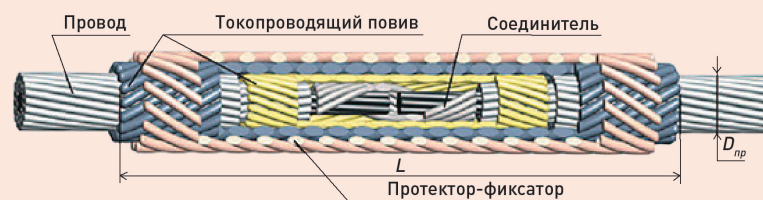


Рис. 1

среду с температурой T_{cp} , описывается уравнением, основанным на законе Джоуля — Ленца:

$$T = \frac{P^2 R}{kF} \left(1 - e^{-\frac{t}{T}}\right) + T_{cp}, \quad (1)$$

где k — общий коэффициент теплоотдачи; F — поверхность охлаждения; t — постоянная нагрева; t — время, I — сила тока, R — общее сопротивление провода.

Учитывая, что испытываемые провода представляют собой протяженные цилиндрические объекты, и пренебрегая теплоотдачей от торцов провода, получаем в установившемся режиме $t \rightarrow \infty$:

$$T = \frac{P^2 R_{01}}{k\pi D_0} + T_{cp}, \quad (2)$$

где R_{01} — сопротивление одного метра провода;

D_0 — диаметр испытуемого провода, мм.

Коэффициент теплоотдачи k характеризует интенсивность теплообмена между поверхностью тела и окружающей средой. Коэффициент k показывает, какое количество тепла передается от единицы поверхности провода к воздушной среде в единицу времени при разности температур между стенкой и средой в 1°C . В общем случае коэффициент теплоотдачи зависит от многих факторов: вида и режима движения окружающей среды, ее физических свойств, размеров и формы стенки, шероховатости стенки. Обычно при определении коэффициента пользуются методами теории подобия.

Поскольку в нашем случае опыты по нагреву проводились в идентичных условиях с подобными объектами, то этот коэффициент можем принять в качестве постоянной величины, которую несложно определить как среднестатистическую величину по результатам испы-

ТЕМПЕРАТУРА НАГРЕВА ПРОВОДА ПРИ РАЗЛИЧНЫХ ТОКАХ: 1 — АС 120/19, $T_{cp} = 20^{\circ}\text{C}$; 2 — АС 240/32, $T_{cp} = 25^{\circ}\text{C}$

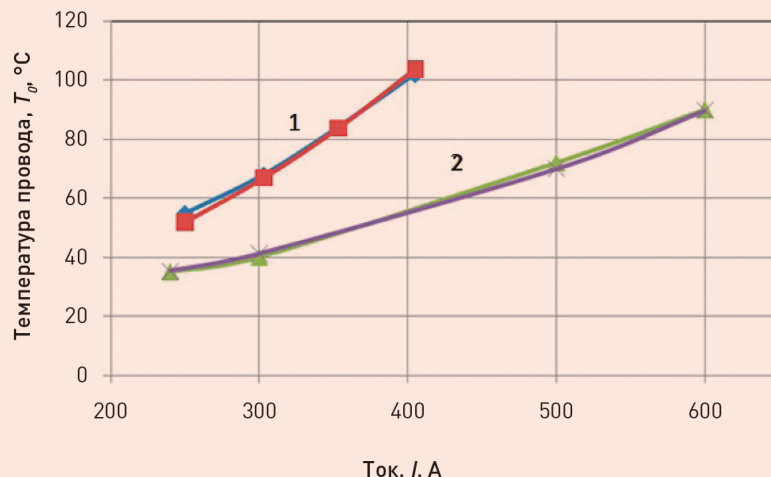


Рис. 2

Ток I, А	Мощность потерь, P, Вт	Приращение мощности потерь, ΔP , Вт	Температура T, °C		Наличие зажима	Примечание
			измененная	расчетная		
250	73	55	52,1	52,1	Нет	Приращение мощности ΔP равно разности между мощностью потерь провода с зажимом и провода без зажима при одинаковых значениях тока.
300	107	68	67,1	67,1		
350	146	84	83,9	83,9		
400	192	102	104	104		
250	150	77	112	97		
300	193	86	127	113	Есть	Температура окружающей среды 25°C
350	250	104	146	137		
400	323	131	175	169		

Таблица 1

таний проводов различного типа и при различных токах:

$$k = 9,6 \cdot 10^{-3} [\text{Вт}/^{\circ}\text{C} \cdot \text{м} \cdot \text{мм}].$$

Справедливость приведенных соотношений иллюстрирует рис. 2, на котором сопоставлены измеренные и рассчитанные по формуле (2) величины температур проводов

для данного коэффициента теплоотдачи.

Обратимся к нагреву провода со спиральными зажимами, содержащими спираль из стальных алюминированных проволок. В качестве примера в табл. 1 приведены данные измерений, выполненных в процессе испытания провода

AC 120/19 без спирального зажима и с соединительным спиральным зажимом, аналогичным показанному на рис. 1.

Для рассмотренного примера, как видно из табл. 1, мощность потерь при испытаниях провода со спиральным зажимом возросла более чем в 1,5 раза. Схема измерения потерь приведена на рис. 3.

Существенное увеличение общей мощности потерь в испытуемом объекте с зажимом и соответствующее повышение температуры провода в месте его установки, вероятнее всего, связаны с маг-

нитными потерями в стали спирального зажима, под которыми понимаются потери на гистерезис, вихревые токи, а также потери вследствие поверхностных эффектов [6].

Примем следующие положения :

- тепловой процесс провода с зажимом согласуется с основным законом электрического нагрева проводника, описываемого уравнением [1];
- увеличение мощности потерь непосредственно связано с присутствием стальных спиралей зажима;

- спиральный зажим не только приводит к приращению потерь ΔP , но также увеличивает поверхность охлаждения провода.

Иными словами, при выводе общей взаимосвязи между мощностью потерь и температурой следует учесть геометрические параметры спирального зажима, в том числе соотношения между длинами и радиальными размерами зажима и основного провода. Принимаемые положения позволяют формализовать следующую конструкцию параметрической связи между температурой нагрева и мощностью потерь, приведенную к единице длины по аналогии с выражением (2):

$$T = \frac{FR_{\theta I}}{k\pi D_g} \left(1 + \frac{\Delta P}{FR_{\theta I}} \frac{I}{L_{np}} \right) \frac{D_g}{D^*_{np}} + T_{cp}, \quad (3)$$

где L_{np} — длина стальных спиралей зажима; D^*_{np} — эквивалентный наружный диаметр стальных спиралей D_{np} , определяемый степенью заполнения a поверхности провода спиралями:

$$D^*_{np} = D_{np} \left[a + \frac{D_g}{D_{np}} (1 - a) \right] \quad (4)$$

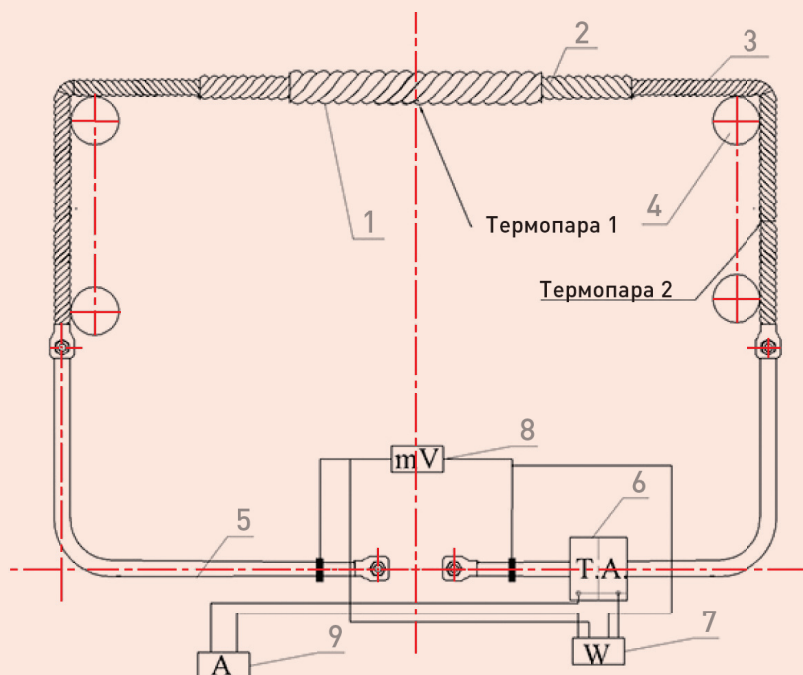
В случае, если $a \rightarrow 1$, то $D^*_{np} \approx a D_{np}$.

Рассчитанные по формуле (3) значения температуры приведены выше в табл. 1. Сравнение их с измеренными величинами показывает, что для рассмотренного примера с проводом AC 120/19 в комплекте со спиральным соединительным зажимом погрешность не превышает 10%.

Для того чтобы расширить применимость предложенной полуэмпирической формулы (3), соотношение мощностей потерь на погонную длину преобразуем в соотношение удельных по объему мощностей B_{np} :

$$T = \frac{FR_{\theta I}}{k\pi D_g} \left(1 + \beta_{np} \frac{N \cdot S_{cm}}{S_g} \right) \frac{D_g}{D^*_{np}} + T_{cp}, \quad (5)$$

ЭЛЕКТРИЧЕСКАЯ СХЕМА ИЗМЕРЕНИЯ МАГНИТНЫХ ПОТЕРЬ В СПИРАЛЬНЫХ ЗАЖИМАХ



1 — протектор-фиксатор спирального зажима; 2 — токопроводящий повив спирального зажима; 3 — провод; 4 — изолирующие ролики; 5 — присоединительные кабели; 6 — трансформатор тока; 7 — ваттметр; 8 — милливольтметр; 9 — амперметр

Рис. 3

ИНФОРМАЦИЯ

**ИЗ «МЕТОДИКИ РАСЧЕТА ПРЕДЕЛЬНЫХ ТОКОВЫХ НАГРУЗОК ПО УСЛОВИЯМ СОХРАНЕНИЯ МЕХАНИЧЕСКОЙ ПРОЧНОСТИ ПРОВОДОВ И ДОПУСТИМЫХ ГАБАРИТОВ ВОЗДУШНЫХ ЛИНИЙ»
ПАО «ФСК ЕЭС»**

Величина k_m (коэффициент, учитывающий магнитные потери) зависит от количества повивов алюминия поверх стального сердечника. Магнитные потери максимальны для одноповивного провода и минимальны при четном количестве повивов, так как вследствие противоположного направления скрутки смежных повивов магнитодвижущие силы, действующие в сердечнике и создаваемые токами повивов, частично взаимно компенсируются. Рекомендуется принимать следующие значения коэффициента:

$k_m = 1,15$ — для 1-го слоя алюминия;

$k_m = 1,04$ — для 2-х слоев алюминия;

$k_m = 1,10$ — для 3-х слоев алюминия.

ПРИРАЩЕНИЕ УДЕЛЬНЫХ ПОТЕРЬ В СТАЛЬНЫХ ПРОВОЛОКАХ ЗАЖИМА В ЗАВИСИМОСТИ ОТ ПЛОТНОСТИ ТОКА В ПРОВОДЕ: 1 — АС 240/32; 2 — АС 120/19



Рис. 4

где

$$\beta_{np} = \frac{\Delta P}{I^2 R_{01}} \frac{S_{ct}}{L_{np} N \cdot S_{cm}};$$

S_{ct} , S_{cm} — сечение алюминия провода и стальных проволок зажима;
 N — число стальных проволок.

Относительная универсальность параметра β_{np} , характеризующего удельное приращение потерь как результат воздействия магнитного поля со стороны провода, обусловлена тем, что геометрические параметры вынесены за пределы этого параметра. На рис. 4 представлены кривые зависимости параметра β_{np} от плотности тока J в проводе; они были построены по результатам испытаний на нагрев проводов АС 240/32 и АС 120/19 с соединительными зажимами.

Основные характеристики составных элементов этих зажимов представлены в табл. 2.

Согласно уравнениям Максвелла [7] в общем случае магнитное поле, обусловленное током, находится в непосредственной корреляции с плотностью тока J . Именно в этой связи значения β_{np} представлены относительно плотности тока J .

На рис. 4 кривые, относящиеся к двум разным объектам, хорошо согласуются между собой, что позволяет их аппроксимировать одной функцией: β_{np} от J , что, в свою очередь, опосредованно подтверждает наличие причинно-следственной связи между переменным магнитным полем и потерей мощности в стальных спиралах. Небезынтересно отметить (см. рис. 4), что объемная плотность мощности потерь в стали спиралей может в несколько раз превышать плотности потерь в самом проводе.

№	Наименование составных элементов	Материал проволоки	Диаметр проволоки, d , мм	Диаметр стали, d_{ct} , мм	Число проволок, N	Длина спирали, L_{np} , м
Зажим соединительный спиральный для провода АС 240/32						
1	Соединитель	Стальная алюминированная	3,4	2,95	8	0,8
2	Токопроводящий повив	Алюминиевый сплав	4,62	-	15	2,3
3	Протектор-фиксатор	Стальная алюминированная	4,2	3,65	20	2,1
Зажим соединительный спиральный для провода АС 120/19						
1	Соединитель	Стальная алюминированная	2,2	1,9	9	0,8
2	Токопроводящий повив	Алюминиевый сплав	4,2	-	14	1,8
3	Протектор-фиксатор	Стальная алюминированная	3,3	2,9	16	1,7

Таблица 2

НАИБОЛЬШАЯ ТЕМПЕРАТУРА НАГРЕВА ПРОВОДА С ПРОТЕКТОРОМ ПРИ РАЗЛИЧНЫХ ТОКАХ: 1, 2 – АС 240/32, ИЗМЕРЕННАЯ, РАСЧЕТНАЯ, $T_{cp} = 25^{\circ}\text{C}$;
3, 4 – АААС-З455-2Z, ИЗМЕРЕННАЯ, РАСЧЕТНАЯ, $T_{cp} = 25^{\circ}\text{C}$

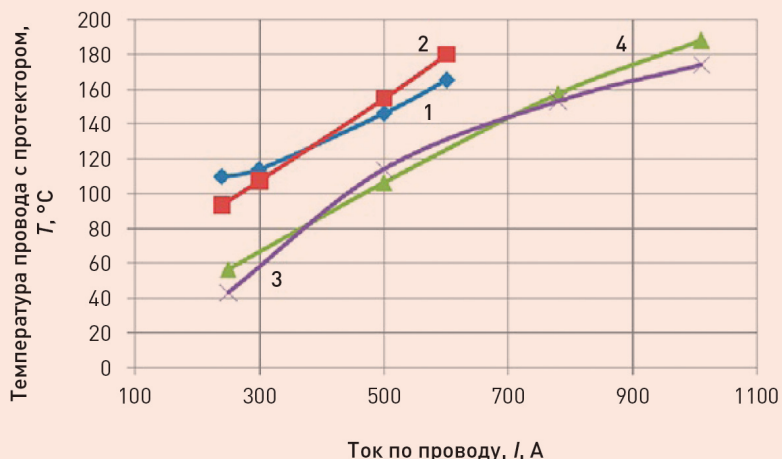


Рис. 5

Из соотношения (5) легко получить формулу расчета температуры провода при отсутствии спирального зажима, приравняв B_{np} к нулю. Следует помнить, что приведенные формулы справедливы для протяженных объектов, в том числе для спиралей, длина которых, как правило, существенно больше их наружного диаметра. Расчет ожидаемой температуры с помощью формулы (5) при известном типе провода, типе зажима и токе по проводу выполняется в следующей последовательности:

- устанавливаем по справочным материалам исходные параметры провода и зажима: R_{01} – сопротивление погонного метра провода; D_0 – наружный диаметр провода; NS_{ct} – суммарное сечение стальных проволок спирального зажима (протектора-фиксатора; см. рис. 1);
- по соотношению (4) определяем D_{np}^* – эквивалентный наружный диаметр протектора-фиксатора спирального соединительного зажима;
- определяем плотности тока J для заданного тока I и сечения провода S_0 , затем из рис. 4 находим соответствующее значение B_{np} ;
- подставляем отмеченные выше величины в формулу (5) и находим искомую температуру с учетом температуры среды.

Определенные в результате расчетов наибольшие значения температуры проводов АС 240/32 и АААС-З455-2Z со спиральными зажимами сравнивались с измеренными в процессе испытаний значениями температуры. Параметры спирального зажима для провода АС 240/32 были представлены в табл. 2, при испытании компактированного провода АААС-З455-2Z использовался натяжной спиральный зажим длиной 1,9 м из стальных алюминированных проволок

ЛИНЕЙНАЯ АРМАТУРА ВОЗДУШНЫХ ЛИНИЙ ЭЛЕКТРОПЕРЕДАЧИ

Линейную арматуру, применяемую при закреплении проводов в гирляндах подвесных изоляторов, можно подразделить по назначению на пять основных видов:

1. Зажимы, служащие для закрепления проводов и тросов, подразделяющиеся на поддерживающие, подвешивающие на промежуточных опорах, и натяжные, применяемые на опорах анкерного типа.
2. Сцепная арматура (скобы, серьги, ушки, коромысла), служащая для соединения зажимов с изоляторами, для подвески гирлянд на опорах и для соединения многоцепных гирлянд друг с другом.
3. Защитная арматура (кольца), монтируемая на гирляндах линий напряжением 330 кВ и выше, предназначенная для более равномерного распределения напряжения между отдельными изоляторами гирлянды и для защиты их от повреждения дугой при перекрытиях.
4. Соединительная арматура, служащая для соединения проводов и тросов в пролете, а также для соединения проводов в шлейфах на опорах анкерного типа.
5. Распорки, применяемые для соединения друг с другом проводов расщепленной фазы. Поддерживающие зажимы состоят из лодочки, в которую укладывается провод, плашек и болтов (или болта) для закрепления провода в лодочке, пружин, цапф или кронштейнов для крепления зажима в гирлянде.

диаметром 5 мм в количестве 12 шт. Результаты показали (рис. 5) удовлетворительную для инженерной практики сходимость.

Очевидно, несложно решить обратную задачу: исходя из заданной температуры, определить соответствующий ток, таким образом, прогнозировать уровень длительно допустимого тока по нагреву провода.

ОСНОВНЫЕ РЕЗУЛЬТАТЫ ИССЛЕДОВАНИЙ

В заключение приведем результаты испытаний соединительного зажима производства компании PLP (США), предназначенногоЕ также для провода АС 120/19. Отличием данного зажима является отсутствие протектора-фиксатора. Единственным ферромагнитным элементом этого зажима является соединитель, предназначенный для соединения сердечника провода. При нагреве провода с зажимом PLP температура нагрева зажима на несколько градусов ниже температуры провода, потери мощности на проводе с зажимом менее чем на 5% превышают потери в проводе без зажима. Таким образом, конструкции спиральных зажимов, не имеющих наружных повивов из ферромагнитных материалов, не вызывают перегрева проводов и существенных потерь мощности.

Проведенные исследования показали, что размещение элементов спиральной арматуры из ферромагнитных материалов снаружи токопроводящих повивов провода и спиральной арматуры приводит к дополнительным потерям электроэнергии и существенному повышению температуры провода и арматуры. Разработчикам и изготовителям спиральной арматуры

следует ограничить применение спиралей из ферромагнитных материалов в арматуре, используемой на ВЛ 110–750 кВ, размещаемых снаружи токопроводящих повивов провода и арматуры.

ЗАКЛЮЧЕНИЕ

1. Температура нагрева провода в месте установки спирального соединительного зажима, содержащего протектор-фиксатор, натяжного спирального зажима существенно превышает температуру нагрева всего провода.
2. Целесообразно ввести требования на магнитные потери для спиральных зажимов по аналогии с монолитными зажимами, согласно МЭК 61284.
3. На основе уравнения нагрева провода под действием электрического тока и экспериментальных исследований предложено полуэмпирическое соотношение для приближенной оценки наибольшей температуры проводов со спиральными зажимами из стальных проволок.

ЛИТЕРАТУРА

1. ПУЭ (Правила устройства электроустановок). (утв. Минэнерго СССР) (6-ое издание).
2. Е.Ф. Макаров. Справочник по электрическим сетям 0,4–35 кВ и 110–750 кВ. Т. 2. М.: Папирос Про, 2003.
3. IEC 61284:1997. Линии передачи воздушные. Требования и испытания для арматуры.
4. Спиральная арматура для подвески и ремонта проводов, грозозащитных тросов ВЛ. Монтажные устройства и приспособления. Каталог продукции АО «Электросетьстройпроект». Выпуск № 22. М., 2014.
5. Основы электрического транспорта. Учебник для вузов / Под общей ред. М.А. Слепцова. М.: Академия, 2006.
6. И.В. Савельев. Курс общей физики. Т. 2. М.: Высшая школа, 1982.
7. Э. Парсsell. Электричество и магнетизм. М.: Наука, 1975.